

Э.В.Приходько, В.Ф.Мороз, О.В.Кукса, Н.Е.Ходотова

О РАСТВОРИМОСТИ ВОДОРОДА В ШЛАКОВЫХ РАСПЛАВАХ

С использованием физико–химических моделей оксидных (шлаковых) и металлических расплавов изучена растворимость водорода в шлаковых расплавах и их водородопроницаемость. Установлены связи с интегральными параметрами межатомного взаимодействия в расплавах в виде полуэмпирических моделей.

Современное состояние вопроса. Известно, что как исходное содержание водорода во флюсах, так и способность последних растворять в своем составе водород или воду, оказывает существенное влияние на концентрацию водорода в сварочных швах и переплавляемых металлах, в частности, способом электрошлакового переплава (ЭШП).

Переход водорода и водородсодержащих газов из газовой фазы в жидкий металл может осуществляться через шлаковые расплавы, т.е. в системе газ–шлак–металл транспорт водорода будет определяться водородопроницаемостью шлакового расплава, которая зависит от растворимости в нем водорода и диффузионных параметров последнего в шлаке.

Методика исследования. Анализ растворимости водорода в шлаках различного состава и назначения выполнен с использованием физико–химической модели шлаковых расплавов, которая рассматривает шлаковый расплав как единую химическую систему [1]. В качестве параметров межатомного взаимодействия в этой модели используются интегральные величины – d , Δe , $\operatorname{tg}\alpha$ и ρ_0 , где:

d – среднее межатомное расстояние катион–анион в расплаве, нм;

Δe – химический эквивалент состава оксидного расплава, е;

$\operatorname{tg}\alpha$ – характеризует химическую индивидуальность атомов;

ρ_0 – отношение числа катионов к числу анионов.

Расчет этих параметров реализован на ПЭВМ в программе «Шлак».

Для анализа растворимости водорода в сталях использованы интегральные параметры (d , Z^Y , $\operatorname{tg}\alpha$) физико–химические модели металлических расплавов с ОЦК–подобной структурой [1], где Z^Y – химический эквивалент металлического расплава.

Растворимость воды в оксидных шлаковых расплавах должна при прочих неизменных параметрах определяться активностью кислорода и длиной водородной связи, пропорциональной среднему межатомному расстоянию между анионами кислорода в зоне одноатомных ионов [2].

Изложение основных материалов исследования. Анализ наводороживания оксидных шлаков на основе CaO , Al_2O_3 и SiO_2 [2] (табл.1) показал, что содержание в них H_2O связано с интегральными параметрами межатомного взаимодействия регрессионным уравнением:

$$(\text{H}_2\text{O}) = 1011,04 - 184,97d + 37,18\Delta e + 2898,54\operatorname{tg}\alpha \quad (r=0,98) \quad (1)$$

Таблица 1. Интегральные параметры оксидных шлаков и растворимость в них H_2O (1600^0C , $P_{H_2O}=100$ кПа).

CaO , %	Al_2O_3 , %	SiO_2 , %	$d \cdot 10^{-1}$, нм	$-\Delta e$, е	$tg\alpha$	ρ_o	(H_2O) , $cm^3/100g$	$(H_2O)_{расч.}$, $cm^3/100g$
10,8	26,8	62,4	2,821	3,201	0,117	0,575	33,1	31,1
20,3	26,3	53,4	2,767	2,788	0,122	0,606	41	42
22	21	57	2,79	2,907	0,12	0,603	43,6	39,1
27	16	57	2,79	2,866	0,119	0,612	44,8	43,5
30,2	13,6	56,2	2,785	2,808	0,12	0,62	45,5	43,7
30	5	65	2,835	3,137	0,113	0,603	38,8	42,5
30	30	40	2,668	2,173	0,13	0,651	57,6	59,9
40	4	56	2,784	2,715	0,119	0,64	50	50,2
38	12,2	49,8	2,743	2,494	0,123	0,648	54,7	54,4
32,6	31,8	35,6	2,628	1,961	0,133	0,665	64	66,5
34	27	39	2,657	2,094	0,131	0,662	62,3	62
45	4	50	2,747	2,454	0,122	0,663	56,2	58,1
43	28	29	2,557	1,557	0,136	0,704	69,8	86
49,2	22,6	28,2	2,545	1,458	0,137	0,722	96	89
47,3	30,6	22,1	2,467	1,161	0,14	0,731	113,6	105,8
54,1	15,4	30,5	2,57	1,52	0,135	0,729	92,5	87,9
45,3	41,5	13,2	2,315	0,628	0,146	0,746	134,5	136,3

Сравнение рассчитанных по (1) и экспериментальных значений (H_2O) , растворенный в шлаках при температуре 1600^0C и $P_{H_2O}=100$ кПа приведен на рис. 1.

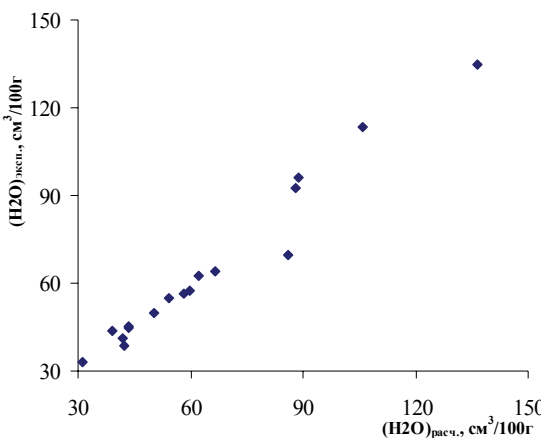


Рис.1. Соотношение экспериментальных и рассчитанных по уравнению (1) значений (H_2O) , растворенной в шлаках

Наиболее тесная парная связь содержания (H_2O) в шлаке наблюдается с параметром Δe :

$$(H_2O) = 145,42 + 36,46\Delta e \quad (r=0,96) \quad (2)$$

Содержание водорода в оксифторидных шлаках (табл. 2) [3] при проплавке их водяными парами при температуре 1600^0C в течение 20мин, описывается уравнением:

$$(H) = -205,08 + 60,87d + 45,88\Delta e - 2081,07 \operatorname{tg}\alpha + 708,27\rho_o \quad (r=0,91) \quad (3)$$

В работе [4] предложен безразмерный количественный параметр водородопроницаемости флюсовых расплавов для заданных и неизменных параметров процесса ЭШП) в виде:

$$Q_H^o = Q_H \sqrt{P_{H_2O}^o / P_{H_2O}}, \text{ где } Q_H = \frac{[H]_{ucx} + (\Delta[H])_{\phi_l}}{[H]_{ucx}},$$

$[H]$ – исходное содержание водорода в переплавляемом электроде; $(\Delta[H])_{\phi_l} = [H]_{ucx} - [H]_{met}$, т.е. разница между содержанием водорода в исходном и переплавленном металле; P_{H_2O} – парциальное давление паров воды в рабочей атмосфере, а $P_{H_2O}^o$ – тоже в стандартных условиях – 25^0C и 50% относительной влажности.

Анализ водородопроницаемости стандартных флюсов ЭШП (АНФ14, АН-291, АНФ13, АНФ6, АНФ28, АНФ29, УД5 и АНФ7) [4, 5], содержащих в своем составе CaF_2 и являющихся оксидносолевыми расплавами, при переплаве стали 08Х18Н10Т при 1700^0C показал наличие тесной корреляционной связи Q_H^o с параметрами межатомного взаимодействия в шлаках (табл.3) в виде уравнения:

$$Q_H^o = \frac{[H]_{ucx} + \Delta[H]_{\phi_l}}{[H]_{ucx}} \cdot \sqrt{\frac{P_{H_2O}^o}{P_{H_2O}}} = 1,49 + 0,49d + 0,3\Delta e - 24,66\operatorname{tg}\alpha + 3,59\rho_o \quad (r=0,93) \quad (4)$$

Сопоставительное сравнение экспериментальных и рассчитанных по уравнению (4) значений относительной водородопроницаемости стандартных флюсов ЭШП приведено на рис.2.

Следует отметить, что относительная водородопроницаемость одного и того шлака может быть разной и зависеть от состава переплавляемого металла. Приведенные в литературе данные по ЭШП сталей 08Х18Н10Т, 12Х18Н10Т, 40Х и 15Х2НМА [6] под флюсом АНФ6 показывает, что значение Q_H^o изменяются в широких пределах – от 1,32 до 4,37.

Таблица 2. Растворимость водорода в оксидторидных шлаках и их интегральные параметры межатомного взаимодействия (1600°C , $t=20\text{мин.}$)

Homepa- mika	Содержание, %				$\frac{(H)}{cm^3/100g}$	$d \cdot 10^{-1}$, нм	$\Delta e, \epsilon$	$\operatorname{tg} \alpha$	ρ_o	$\frac{(H)_{\text{расч.}}}{cm^3/100g}$
	CaF ₂	Al ₂ O ₃	CaO	SiO ₂						
1	100	—	—	—	—	1,426	3,905	0,151	0,5	100,8
2	70	30	—	—	—	49,33	1,8	1,85	0,153	0,555
3	70	30	—	—	—	69,83	1,8	1,85	0,153	0,555
4	32	26	22	6	14	—	64,45	2,833	-1,409	0,158
5	29	23	20	5	13	10	58,74	3,405	-2,495	0,155
6	26	20	17	4	13	20	—	31,18	3,791	-3,154
7	16	13	11	3	7	50	—	36,55	4,493	-4,41
8	31	25	21	5	13	—	5	58,07	2,84	-1,538
9	29	23	20	5	13	—	10	46,64	2,877	-1,754

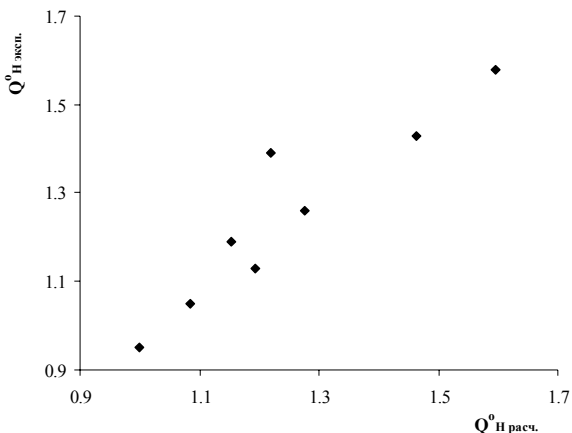


Рис.2. Сравнение экспериментальных и рассчитанных значений относительной водородопроницаемости Q_H^0 стандартных шлаков ЭШП

Таблица 3. Параметры межатомного взаимодействия и относительная водородопроницаемость шлаков ЭШП (1700^0C).

Флюс	$d \cdot 10^{-1}$, нм	Δe , е	$\operatorname{tg}\alpha$	ρ_o	Q_H^0
АНФ6	1,934	1,318	0,152	0,576	1,19
АНФ7	1,510	3,437	0,151	0,574	1,58
АНФ13	2,266	0,282	0,148	0,600	1,13
АНФ14	2,613	-0,713	0,141	0,533	0,95
АНФ28	2,687	-1,139	0,136	0,601	1,26
АНФ29	2,614	-0,864	0,146	0,641	1,39
АНФ291	2,892	-1,695	0,164	0,758	1,05
УД5	2,716	-1,855	0,140	0,736	1,43

Анализ приведенных в работе [6] данных по изменению Q_H^0 от интегральных параметров межатомного взаимодействия в расплавах этих сталей (табл. 4) описывается уравнением:

$$Q_H^0 = -202,63 - 0,45d + 6,68Z^Y + 2256,62\operatorname{tg}\alpha - 0,009P_{H_2O} \quad (r=0,998) \quad (5)$$

Выводы. Полученные выше полуэмпирические модели растворимости водорода в шлаках различного состава и их водородопроницаемости могут быть использованы для прогнозной оценки поведения водорода в системе газ–шлак–металл.

Таблица 4. Зависимость относительной водородопроницаемости флюса НФС от интегральных параметров расплавов сталей и P_{H_2O}

Сталь	$d \cdot 10^{-1}$, нм	Z^Y , е	$\operatorname{tg}\alpha$	P_{H_2O} , кПа	Q_H^o эксп.	Q_H^o расч.
08Х18Н10Т	2,8213	1,7834	0,0857	15	1,32	1,28
	2,8213	1,7834	0,0857	5,5	1,33	1,37
12Х18Н10Т	2,8168	1,7844	0,0857	17,7	1,26	1,27
	2,8168	1,7844	0,0857	15,8	1,29	1,28
40ХН	2,7563	1,2306	0,0886	8,4	4,09	4,22
	2,7563	1,2306	0,0886	6,3	4,37	4,24
15Х2НМА	2,7995	1,2690	0,0877	19,2	2,32	2,33
	2,7995	1,2690	0,0877	11,3	2,41	2,40

1. Приходько Э.В. Металлохимия многокомпонентных систем. – М.: Металлургия. –1998. –320 с.
2. Сварочные материалы для дуговой сварки. Справочное пособие в 2-х томах. Т.1. Защитные газы и сварочные флюсы // Б.П.Конищев, С.А.Курланов, Н.Н.Потапов и др. Под общей редакцией Потапова Н.Н. – М.: Машиностроение, 1989. –544 с.
3. Содержание водорода в оксифторидных расплавах / А.А. Медведев, В.Е. Рощин, В.И. Антоненко и др. // Изв. ВУЗов. Черная металлургия. –1990. –№8. – С.15–17.
4. Водородопроницаемость стандартных флюсов ЭШП / А.Н.Романов, И.А.Новохатский, В.Я.Кожухарь и др. // Известия ВУЗов. Черная металлургия. –1989. –№7. –С.47–51.
5. Содержание водорода во флюсах ЭШП на различных стадиях их производства / И.А.Новохатский, Б.И.Бережко, В.Я. Кожухарь и др. // Изв. ВУЗов. Черная металлургия. –1989. –№5. –С.48–54.
6. Новохатский И.А., Кожухарь В.Я., Романов А.Н. О механизме межфазного распределения водорода в процессах ЭШП //Изв. ВУЗов. Черная металлургия. –1994. –№5. –С.23–28.

Статья рекомендована к печати докт.техн.наук, проф. Д.Н.Тогобицкой